



## Rapport du TP3 du projet AD/CS

Ouhou Houda - Bouisse Yassir - El Jai Reda

Département Sciences du Numérique - Première année  
2019-2020

## Contents

### List of Figures

1	Eigenfaces . . . . .	3
2	Eigenfaces et individu moyen . . . . .	4
3	Images reconstruites à partir des $q$ première composantes et RMSE en fonction de $q$ . . . . .	4
4	Exemple d'exécution réussie du programme . . . . .	5
5	Exemple d'échec de l'exécution de l'exercice 3. . . . .	5
6	Erreur à la sortie du classifieur . . . . .	6
7	Exemple 1 : Résultat de la requête avec des images en couleur . . . . .	6
8	Exemple 2 : Résultat de la requête avec des images en couleur . . . . .	7
9	Taux d'erreur avec des images en couleur . . . . .	7

## Introduction :

Ce TP concrétise toutes les connaissances acquises lors des TP précédents pour les exploiter dans la reconnaissance faciale. Il exploite notamment l'ACP appliquée à des matrices dont les lignes correspondent aux images de personnes vectorisées. La très grande taille de ce jeu de données va nous mener à faire de choix judicieux sur le plan algorithmique et informatique pour pouvoir traiter ces données et les classifier.



Figure 1: Eigenfaces

## Exercice 1 : Analyse en composantes principales

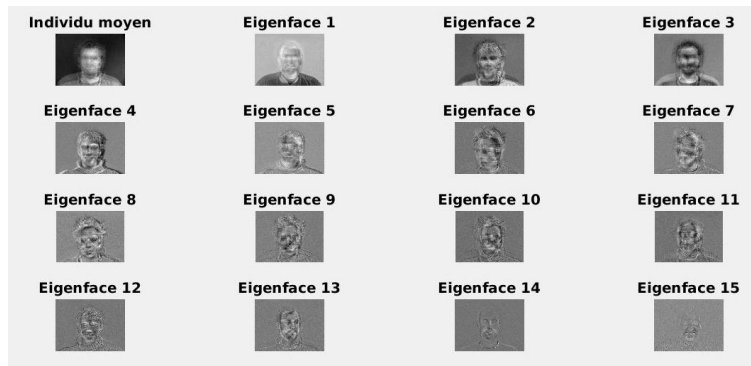


Figure 2: Eigenfaces et individu moyen

Grâce à l'ACP appliquée à la matrice  $\Sigma_2$  qui a les mêmes valeurs propres de  $\Sigma$  mais qui est de taille bien plus inférieure, nous avons pu retrouver les eigenfaces.

## Exercice 2 : Projection sur les eigenfaces



Figure 3: Images reconstruites à partir des q première composantes et RMSE en fonction de q

Nous avons projeté notre jeu de données sur les q premières composantes principales, puis nous avons reconstruit les images originales à partir de ces projections. Nous remarquons en traçant le RMSE qui traduit la différence entre les images réelles et reconstruites que plus q est grand, plus l'image reconstruite se rapproche de l'originale.

## Exercice 3 : Application à la reconnaissance des visages

Nous avons défini `donnees1.mat` au lieu de `donnees.mat` afin d'étudier tous les 37 individus.

### Questions sur la reconnaissance des visages

#### Question 4:

En s'inspirant de la méthode `kppv` vu en TP4, on essaie de trouver les 3 plus proches voisins d'un individu parmi les 37 individus générés avec la fonction `randi(37)`. La nouvelle fonction de `kppv` renvoie, en plus de l'individu reconnu, une matrice contenant les données nouvelles de la requête, la distance entre le résultat de la requête et les images-test, et `kppv` : les indices de  $k$  plus proches voisins. Si cette distance est inférieure au seuil souhaité, ( $s = 0,5$ ), on la garde et on affiche les images comme le montre la figure 3. Sinon, on relance le programme en cas d'échec. La figure 5 illustre un cas d'échec.



Figure 4: Exemple d'exécution réussie du programme



Figure 5: Exemple d'échec de l'exécution de l'exercice 3.

### Question 5 :

La matrice de confusion nous permet de calculer l'erreur commise lorsqu'on confond la classe réelle des données et la classe prédite à la sortie du classifieur. Dans notre cas, l'erreur à la sortie est égale à 0

```
taux_erreur =  
0
```

Figure 6: Erreur à la sortie du classifieur

## Discussion

### Question 6 :

Vue la grande taille des données utilisées, on peut penser tout d'abord à utiliser la matrice  $\Sigma_2$  au lieu de  $\Sigma$  pour travailler sur une matrice de taille inférieure et qui a les mêmes valeurs propres. Ensuite si la taille de la matrice reste relativement petite, on se propose de choisir l'algorithme *subspace\_iter\_v3* vu lors du TP2 qui est la plus rapide et la plus efficace des méthodes itératives vu jusqu'à présent. Cependant si notre base de données contient des millions de visages à détecter, on se retrouve tout de même avec de grandes matrices et on privilégiera plutôt une implantation de Cholesky qui s'avère plus rapide pour de très grandes matrices.

### Question 7 :

Comme ceci a été vu lors du TP précédent, pour des matrices de très grandes tailles le solveur dseve qui implante Cholesky est plus performant que *subspace\_iter\_v3*. Choisir une implantation de Cholesky semble plus judicieux donc pour traiter des données de telle taille.

### Question 8 :

Nous avons défini `exercice.m` qui crée une matrice de données associées à `donneesCouleurs` que nous avons stocké dans `exercice.mat` qui sera utilisé dans `exercice3_couleur.m`. Comme le montre les figures 7 et 8 obtenues après l'exécution du script, en introduisant la couleur, on perd en efficacité de détection de l'individu. D'autres individus avec la même couleur de cheveux et d'habits faussent le résultat. Ainsi, On perd en efficacité spectrale lorsqu'on prend en considération les couleurs des images comme le montre le taux d'erreur 0.8400 affiché sur la figure 9.



Figure 7: Exemple 1 : Résultat de la requête avec des images en couleur

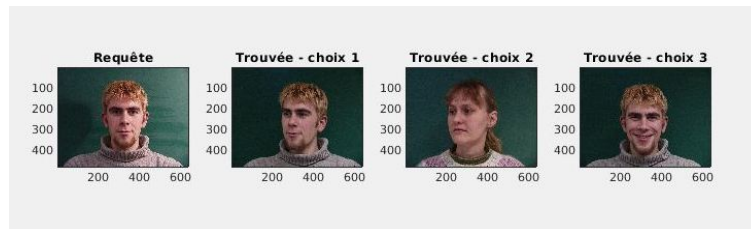


Figure 8: Exemple 2 : Résultat de la requête avec des images en couleur

```
>> exercice3_couleur  
  
taux_erreur =  
  
0.8400
```

Figure 9: Taux d'erreur avec des images en couleur

## Conclusion

L'ACP est un outil efficace pour la reconnaissance faciale. Afin de retrouver les couples propres nécessaires à la classification, on privilégie un algorithme implémentant la décomposition de Cholesky quand le nombre d'individu est très grand. On a aussi remarqué que l'efficacité spectrale des photos en couleur était plus petite que celle des photos en niveau de gris et que l'exploitation des photos en couleur menaient à des erreurs en mélangeant des individus ayant les mêmes couleurs de cheveux et d'habits.